

К ЗАДАЧЕ ОБ ОПТИМАЛЬНОМ РАСПРЕДЕЛЕНИИ ПРОВОДИМОСТИ ЖИДКОСТИ, ДВИЖУЩЕЙСЯ ВО ВНЕШНЕМ МАГНИТНОМ ПОЛЕ

K. A. Lurye

(Ленинград)

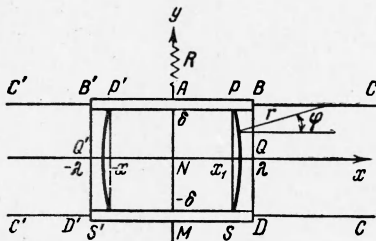
1. Проводящая жидкость, проводимость которой ограничена пределами интервала $(\sigma_{\min}, \sigma_{\max})$, движется с постоянной скоростью $v(V, 0, 0)$ в плоском канале (фиг. 1) шириной 2δ . Стенки канала повсюду диэлектрические, за исключением двух участков одинаковой длины 2λ , расположенных на противоположных стенках один против другого и изготовленных из идеально проводящего материала. Проводящие участки соединены один с другим посредством нагрузки R .

При наложении внешнего магнитного поля $B\{0, 0, -B(x)\}$ через цепь нагрузки протекает электрический ток

$$I = \int_{-\lambda}^{\lambda} \zeta^2(x, \pm \delta) dx \quad (1.1)$$

а в жидкости выделяется джоулево тепло

$$Q = \int_{-\infty}^{\infty} \int_{-\delta}^{\delta} \rho [(\zeta^1)^2 + (\zeta^2)^2] dx dy \quad (1.2)$$



Фиг. 1

Предположение $V = \text{const}$ оправдывается в случае малых значений магнитного числа Рейнольдса [1]; при этом индуцированными полями также можно пренебречь и описывать распределение токов $j(\zeta^1, \zeta^2)$ и потенциала электрического поля z^1 следующими уравнениями [2]:

$$\begin{aligned} \frac{\partial z^1}{\partial x} &= -\rho \zeta^1, & \frac{\partial z^1}{\partial y} &= -\rho \zeta^2 + \frac{VB}{c}, & \frac{\partial}{\partial x} \left(\frac{VB}{c} - \rho \zeta^2 \right) + \frac{\partial}{\partial y} \rho \zeta^1 &= 0 \\ \frac{\partial z^2}{\partial x} &= \zeta^2, & \frac{\partial z^2}{\partial y} &= -\zeta^1, & \frac{\partial \zeta^1}{\partial x} + \frac{\partial \zeta^2}{\partial y} &= 0 \end{aligned} \quad (1.3)$$

Здесь z^2 — функция тока; через $\rho = 1/\sigma$ обозначено удельное сопротивление жидкости.

Ставится задача о выборе среди кусочно-непрерывных функций $\rho(x, y)$, удовлетворяющих неравенству

$$\rho_{\min} \leq \rho(x, y) \leq \rho_{\max} \quad (1.4)$$

оптимального управления $\rho(x, y)$, доставляющего максимум функционалу I (задача А), либо минимум функционалу Q (задача В).

В работе [2] оптимальные задачи А и В были решены для случая однородного магнитного поля. Цель настоящей статьи — построение оптимальных распределений проводимости в случае меняющегося с координатой x магнитного поля. Все рассуждения будут проведены для задачи А; распространение их на задачу В не вызывает затруднений.

Как показано в [2] (теорема), оптимальные режимы в задаче А могут достигаться лишь при следующих значениях управления $\rho(x, y)$ (условие Вейерштрасса):

$$\begin{aligned} \rho &= \rho_{\max} \quad \text{при } (\mathbf{j}, \operatorname{grad} \omega_2) > 0, \quad \chi \leq \arccos p \text{ (режим 1)} \\ \rho &= \rho_{\min} \quad \text{при } (\mathbf{j}, \operatorname{grad} \omega_2) < 0, \quad \chi \geq \pi - \arccos p \text{ (режим 2)} \end{aligned} \quad (1.5)$$

Здесь χ обозначает угол между векторами \mathbf{j} и $\operatorname{grad} \omega_2$; параметр p определяется формулой

$$p = \frac{\rho_{\max} - \rho_{\min}}{\rho_{\max} + \rho_{\min}} \quad (1.6)$$

Функция ω_2 гармоническая в обоих режимах проводимости; граничные условия для ее определения вместе с условиями на кривых разделя режимов будут приведены в дальнейшем.

2. Если магнитное поле однородно, то оптимальный режим в задаче А характеризуется отсутствием скачков [2], т. е. постоянством проводимости во всей области. Изменение магнитного поля с координатой x качественно меняет эту картину: в оптимальном режиме появляются скачки проводимости.

Рассмотрим, например, случай, когда магнитное поле четко по x и обращается в нуль вне электродной зоны. Докажем, что режим $\rho = \text{const}$ в этих условиях не является оптимальным.

Распределение токов для этого случая получено А. Б. Ватажиным [3]; оказывается, что вектор плотности тока формально складывается из двух частей: вектора \mathbf{j}^1 , возникающего при течении жидкости в однородном магнитном поле величин

$$B_0 = -\frac{R}{2\rho\delta} \int_{-\lambda}^{\lambda} B(x) dx$$

и вектора \mathbf{j}^2 с компонентами $\{0, \rho^{-1}c^{-1}VB(x)\}$. Векторные линии \mathbf{j}^1 и \mathbf{j} изображены на фиг. 2а и б, заимствованных из работы [3].

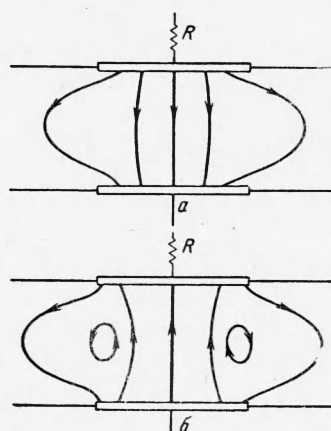
Линии $\operatorname{grad} \omega_2$, как показано в [2], параллельны линиям \mathbf{j}^1 . Сравнивая фиг. 2а и б и вспоминая условие Вейерштрасса (1.5), придем к выводу, что это условие в какой-то части области нарушается, поскольку линии \mathbf{j} и $\operatorname{grad} \omega_2$ пересекаются как под тупым, так и под острым углом, а проводимость $1/\rho$ считается повсюду одинаковой.

Более детальное рассмотрение показывает, что взаимная ориентация векторных линий соответствует режиму максимальной проводимости, грубо говоря, в области между электродами, и режиму минимальной проводимости вне этой области. Физически это означает, что для оптимизации режима следует максимально увеличить токи в основном направлении (в электродной зоне) и сделать возможно меньшими обратные перетекания токов в областях, свободных от магнитного поля.

Аналогичным образом можно доказать, что режим постоянной проводимости не будет оптимальным и в том случае, когда внешнее магнитное поле вынесено на конечное расстояние за пределы электродной зоны.

Таким образом, возникает задача определения формы и местоположения кривых, разделяющих области с различными (постоянными) значениями проводимости. Ниже дается постановка этой проблемы, причем магнитное поле считается, вообще говоря, выходящим за пределы электродной зоны.

На неизвестных кривых скачка Σ_0 соблюдаются условия непрерывности касательной составляющей электрического поля и нормальной состав-



Фиг. 2

ляющей плоскости тока; эти условия записываются так

$$[z^i]_2^1 = 0 \quad (i = 1, 2) \quad (2.1)$$

Кроме того, на кривых скачка выполняются следующие условия Эрдманна — Вейерштрасса [4]

$$[\omega_i]_2^1 = 0 \quad (i = 1, 2) \quad (2.2)$$

$$\frac{\partial \omega_1}{\partial t} \left[\frac{\partial z^1}{\partial n} \right]_2^1 + \frac{\partial \omega_2}{\partial t} \left[\frac{\partial z^2}{\partial n} \right]_2^1 = 0 \quad (2.3)$$

Через $n \{y_t, -x_t\}$, $t \{x_t, y_t\}$ обозначены нормальное и касательное направления к линии скачка.

В областях, соответствующих режимам 1 и 2, функции z^i удовлетворяют уравнениям

$$\Delta z^1 = 0, \quad \Delta z^2 = \begin{cases} \frac{V}{c\rho_{\max}} \frac{\partial B}{\partial x} & \text{в области 1} \\ \frac{V}{c\rho_{\min}} \frac{\partial B}{\partial x} & \text{в области 2} \end{cases} \quad (2.4)$$

Функции ω_2 и $\rho\omega_1$ в областях 1 и 2 — сопряженные гармонические

$$\frac{\partial \omega_2}{\partial x} = \rho \frac{\partial \omega_1}{\partial y}, \quad \frac{\partial \omega_2}{\partial y} = -\rho \frac{\partial \omega_1}{\partial x} \quad (2.5)$$

Соответствующие краевые условия таковы

$$z^1(x, \pm \delta) = z_{\pm}^1 = \text{const}, \quad |x| < \lambda \quad (2.6)$$

$$z^2(x, \pm \delta)|_{x>\lambda} = z_+^2 = \text{const}, \quad z^2(x, \pm \delta)|_{x<-\lambda} = z_-^2 = \text{const}$$

$$z^1(\infty, y) = z^1(-\infty, y) = 0, \quad z_+^2 - z_-^2 = R^{-1}(z_+^1 - z_-^1)$$

$$\omega_2(x, \pm \delta) = \omega_{2\pm} = \text{const}, \quad |x| < \lambda \quad (2.7)$$

$$\omega_1(x, \pm \delta)|_{x>\lambda} = \omega_{1+} = \text{const}, \quad \omega_1(x, \pm \delta)|_{x<-\lambda} = \omega_{1-} = \text{const}$$

$$\omega_2(\infty, y) = \omega_2(-\infty, y) = 0, \quad \omega_{2+} - \omega_{2-} + 1 = R(\omega_{1+} - \omega_{1-})$$

Условий (2.1) — (2.7) достаточно для определения кривых скачка и разрывов нормальных производных функций z^i и ω_i на этих кривых.

Формулы (2.1) — (2.7) представляют собой условия стационарности; как известно, этим условиям можно, вообще говоря, удовлетворить многими способами, и в такой постановке задача в общем случае обладает известным разнообразием решений. Роль неравенств Вейерштрасса (1.5) заключается в том, чтобы выделить из этого множества решений определенное решение, соответствующее оптимальному (в заданном смысле) распределению проводимости. Эти неравенства должны, в частности, указать взаимное расположение областей 1 и 2 в оптимальном решении.

Условия (2.1) — (2.3) можно записать в эквивалентной форме. Для этого представим функции z^i в виде сумм

$$z^i = P^i + F^i, \quad P^i = \int_{\Sigma_0} \mu^i \ln \frac{1}{r} dt \quad (2.8)$$

Здесь F^i — надлежащим образом определенное решение соответствующего уравнения (2.4); напоминаем, что кривая скачка обозначена через Σ_0 . Важно подчеркнуть, что функции F^i непрерывны во всей основной области вместе со своими первыми производными.

Представление (2.8) любой из z^i удовлетворяет соответствующему условию (2.1); оставшееся условие (2.1) приводит к интегральному уравнению относительно плотности μ^i .

Для записи этих уравнений воспользуемся известными соотношениями для предельных значений нормальных производных потенциала простого слоя [5]

$$\left(\frac{\partial P^i}{\partial n_0} \right)_+ = \pi \mu^i + \int_{\Sigma_0} \mu^i \frac{\cos \psi_0}{r_0} dt, \quad \left(\frac{\partial P^i}{\partial n_0} \right)_- = - \pi \mu^i + \int_{\Sigma_0} \mu^i \frac{\cos \psi_0}{r_0} dt$$

Здесь ψ_0 означает угол между направлением внешней нормали n_0 к кривой Σ_0 в точке наблюдения и вектором-радиусом r_0 точки интегрирования по отношению к полюсу в точке наблюдения; нижний индекс плюс означает внутреннюю производную, минус — внешнюю.

Пользуясь этими соотношениями, а также уравнениями (1.3) нетрудно получить упомянутые выше интегральные уравнения.

Будем иметь¹

$$\begin{aligned} \mu^1 - \frac{p}{\pi} \int_{\Sigma_0} \mu^1 \frac{\cos \psi_0}{r_0} dt &= \frac{p}{\pi} \frac{\partial F^1}{\partial n_0} + \frac{p}{\pi} \frac{VB}{c} x_t \\ \mu^2 + \frac{p}{\pi} \int_{\Sigma_0} \mu^2 \frac{\cos \psi_0}{r_0} dt &= - \frac{p}{\pi} \frac{\partial F^2}{\partial n_0} \end{aligned} \quad (2.9)$$

Параметр p определяется формулой (1.6). Сходным образом, для функций ω_i оказывается справедливым представление

$$\omega_i = \int_{\Sigma_0} v_i \ln \frac{1}{r} dt + H_i \quad (2.10)$$

Здесь H_i — гармонические функции, непрерывные вместе со своими производными. Уравнения для плотностей v_1 и v_2 имеют вид

$$v_1 + \frac{p}{\pi} \int_{\Sigma_0} v_1 \frac{\cos \psi_0}{r_0} dt = - \frac{p}{\pi} \frac{\partial H_1}{\partial n_0}, \quad v_2 - \frac{p}{\pi} \int_{\Sigma_0} v_2 \frac{\cos \psi_0}{r_0} dt = \frac{p}{\pi} \frac{\partial H_2}{\partial n_0} \quad (2.11)$$

Правые части уравнений (2.9) и (2.11) содержат производные неизвестных функций F^i , H_i . Эти функции должны определяться одновременно с плотностями μ^i , v_i из решения краевых задач для соответствующих функций z^i , ω_i . Исследование таких задач будет проведено ниже.

Условие (2.3) может быть записано при помощи введенных плотностей, например, в следующей форме

$$\left(\int_{\Sigma_0} \mu^2 \frac{\sin \psi_0}{r_0} dt + \frac{\partial F^2}{\partial t} \right) v_2 + \left(\int_{\Sigma_0} v_2 \frac{\sin \psi_0}{r_0} dt + \frac{\partial H_2}{\partial t} \right) \mu^2 = 0 \quad (2.12)$$

Приведем еще выражения для косинусов предельных углов χ между векторами j и $\text{grad } \omega_2$ на кривой скачка Σ_0 по обе ее стороны:

$$\begin{aligned} \cos \chi \Big|_1 &= \frac{1}{\Omega} \left(\frac{\partial z^2}{\partial n} \frac{\partial \omega_2}{\partial t} - \frac{\partial z^2}{\partial t} \frac{\partial \omega_2}{\partial n} \right) \Big|_1 = \\ &= \frac{1}{\Omega} \left(\pi \mu^2 + \int_{\Sigma_0} \mu^2 \frac{\cos \psi_0}{r_0} dt + \frac{\partial F^2}{\partial n_0} \right) \left(\int_{\Sigma_0} v_2 \frac{\sin \psi_0}{r_0} dt + \frac{\partial H_2}{\partial t} \right) \Big|_1 - \\ &- \frac{1}{\Omega} \left(\int_{\Sigma_0} \mu^2 \frac{\sin \psi_0}{r_0} dt + \frac{\partial F^2}{\partial t} \right) \left(\pi v_2 + \int_{\Sigma_0} v_2 \frac{\cos \psi_0}{r_0} dt + \frac{\partial H_2}{\partial n_0} \right) \Big|_1 \\ &\quad (\Omega = \sqrt{(z_n^2)^2 + (z_t^2)^2} \sqrt{(\omega_{2n})^2 + (\omega_{2t})^2}) \end{aligned}$$

¹ В дальнейшем n_0 будет обозначать нормаль к кривой Σ_0 , внешнюю по отношению к области 1, где $\rho = \rho_{\max}$.

Пользуясь интегральными уравнениями (2.9) и (2.11) для плотностей μ^2 , v_2 , а также равенством (2.12), перепишем последнюю формулу так

$$\cos \chi \Big|_1 = \frac{2\pi v_2}{\Omega} \left(\int_{\Sigma_0} \mu^2 \frac{\sin \psi_0}{r_0} dt + \frac{\partial F^2}{\partial t} \right) \Big|_1$$

Совершенно так же найдем

$$\cos \chi \Big|_2 = - \frac{2\pi v_2}{\Omega} \left(\int_{\Sigma_0} \mu^2 \frac{\sin \psi_0}{r_0} dt + \frac{\partial F^2}{\partial t} \right) \Big|_2$$

Как видно из полученных формул, косинусы предельных углов, образуемых векторами j и $\text{grad } \omega_2$ с разных сторон кривой скачка, имеют разные знаки.

Для завершения исследования необходимо дать постановку краевых задач, решение которых определит функции F^i , H_i . Достаточно найти одну из функций F^i (или H_i), тогда другие определяются без труда.

Сформулируем краевую задачу для нахождения F^1 , причем для простоты ограничимся случаем, когда $B(x)$ — четная функция, исчезающая при $|x| > \lambda$. Последнее предположение ни в какой мере не ограничивает общности, и все рассуждения могут быть проведены и в том случае, когда магнитное поле выходит за пределы электродной зоны.

При сделанном допущении о профиле магнитного поля естественно разыскивать решение, соответствующее распределению проводимости следующего типа: в средней области $PP'S'SP$ (фиг. 1), расположенной в пределах электродной зоны, $\rho = \rho_{\min}$ (режим 2); в двух симметрично расположенных и уходящих в бесконечность боковых областях $C'S'P'C'$ и $CPSC$ имеем $\rho = \rho_{\max}$ (режим 1). Форма кривых скачка $S'Q'P'$ и PQS заранее не известна и подлежит определению вместе с решением оптимальной задачи. Относительно этих кривых будет предполагаться лишь то, что они симметричны относительно осей x и y и начинаются и кончаются на электродах.

В дальнейшем увидим, что такое распределение проводимости при определенных условиях действительно будет оптимальным, поскольку соответствующими решениями удается удовлетворить как условиям стационарности, так и условию Вейерштрасса.

Принимая во внимание сделанные выше предположения о всех входящих в рассмотрение величинах, а также уравнения (2.4) и краевые условия (2.6), приходим к следующей краевой задаче.

Требуется определить в полуполосе $x \geq 0$, $|y| \leq \delta$ гармоническую функцию F^1 при следующих краевых условиях (фиг. 1):

$$\begin{aligned} F^1(x, \pm \delta) &= z_{\pm}^{-1} - \int_{\Sigma_0} \mu^1 \ln \frac{1}{r} dt \Big|_{y=\pm \delta} \quad \text{при } x < \lambda \\ \frac{\partial F^1}{\partial x} &= - \frac{\partial}{\partial x} \int_{\Sigma_0} \mu^1 \ln \frac{1}{r} dt \quad \text{при } x = 0, |y| < \delta \\ \frac{\partial F^1}{\partial y} &= - \frac{\partial}{\partial y} \int_{\Sigma_0} \mu^1 \ln \frac{1}{r} dt \quad \text{при } \lambda < x < \infty, y = \pm \delta \end{aligned} \tag{2.13}$$

На бесконечности производные $\partial F^1 / \partial x$, $\partial F^1 / \partial y$ обращаются в нуль. Постоянная разность $z_+^{-1} - z_-^{-1}$ определяется из закона Ома для внешней цепи

$$2R \int_0^\lambda \frac{1}{\rho} \left(\frac{VE}{c} - \frac{\partial z^1}{\partial y} \right) \Big|_{y=\delta} dx = z_+^{-1} - z_-^{-1} \tag{2.14}$$

Решение подобной задачи получено А. Б. Ватажиным [1]; следуя этой работе, введем аналитическую функцию

$$\Phi^1 = \frac{\partial F^1}{\partial x} - i \frac{\partial F^1}{\partial y} = u + iv, \quad u = \frac{\partial F^1}{\partial x}, \quad v = -\frac{\partial F^1}{\partial y} \quad (2.15)$$

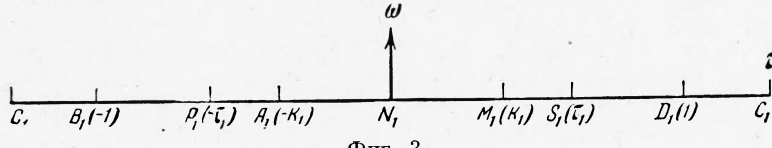
Соответствующие граничные условия имеют вид (обозначения см. на фиг. 1)

$$\begin{aligned} u &= \int_{\Sigma_0} \mu^1 \frac{\cos \varphi}{r} dt = C(x, y) \quad \text{на } BA, AM, MD; \\ &\Phi^1(\infty) = 0 \\ v &= - \int_{\Sigma_0} \mu^1 \frac{\sin \varphi}{r} dt = -S(x, y) \quad \text{на } CB, DC; \\ - \int_0^\delta v(0, y) dy + \frac{1}{2} \left[\int_{\Sigma_0} \mu^1 \ln \frac{1}{r_A} dt - \int_{\Sigma_0} \mu^1 \ln \frac{1}{r_M} dt \right] &= \frac{R}{\rho_{\min}} \int_0^{x_1} v(x, \delta) dx + \\ + \frac{R}{\rho_{\max}} \int_{x_1}^\lambda v(x, \delta) dx + \frac{R}{\rho_{\min}} \int_0^{x_1} dx \left(\int_{\Sigma_0} \mu^1 \frac{\sin \varphi}{r} dt \right)_{y=\delta} + \\ + \frac{R}{\rho_{\max}} \int_{x_1}^\lambda dx \left(\int_{\Sigma_0} \mu^1 \frac{\sin \varphi}{r} dt \right)_{y=\delta} + \frac{R}{\rho_{\min}} \frac{V}{c} \int_0^{x_1} B(x) dx + \frac{R}{\rho_{\max}} \frac{V}{c} \int_{x_1}^\lambda B(x) dx \quad (2.16) \end{aligned}$$

Функция

$$w = \tau + i\omega = \frac{\sin(\pi z / 2\delta)}{\operatorname{ch}(\pi\lambda / 2\delta)} \quad (z = x + iy) \quad (2.17)$$

реализует конформное отображение полуполосы $x \geq 0, |y| \leq \delta$ на верхнюю полуплоскость с соответствием точек, указанных на фиг. 3, на которой $k_1 = \operatorname{ch}^{-1}(\pi\lambda / 2\delta)$ и $\tau_1 = \operatorname{ch}(\pi x_1 / 2\delta) / \operatorname{ch}(\pi\lambda / 2\delta)$.



Фиг. 3

На границе области выполняются соотношения

$$\begin{aligned} \tau &= -\frac{\operatorname{ch}(\pi x / 2\delta)}{\operatorname{ch}(\pi\lambda / 2\delta)} \quad (x \geq 0, y = \delta), \quad \tau = -\frac{\sin(\pi y / 2\delta)}{\operatorname{ch}(\pi\lambda / 2\delta)} \quad (x = 0, |y| \leq \delta) \\ \tau &= \frac{\operatorname{ch}(\pi x / 2\delta)}{\operatorname{ch}(\pi\lambda / 2\delta)} \quad (x \geq 0, y = -\delta) \quad (2.18) \end{aligned}$$

Приходим к задаче определения аналитической в верхней полуплоскости $\Phi^1[z(w)] = \Phi_1^1(w) = u_1 + iv_1$, исчезающей на бесконечности и удовлетворяющей смешанным краевым условиям на вещественной оси

$$u_1 = C_1(\tau) \quad (-1 < \tau < 1, \omega = 0), \quad v_1 = -S_1(\tau) \quad (1 < |\tau| < \infty, \omega = 0)$$

$$\begin{aligned} -\frac{2\delta}{\pi} \int_0^{k_1} \frac{v_1(\tau, 0)}{\sqrt{k_1^2 - \tau^2}} d\tau &= R \frac{2\delta}{\pi} \left[\frac{1}{\rho_{\min}} \int_{k_1}^{x_1} \frac{v_1(\tau, 0)}{\sqrt{\tau^2 - k_1^2}} d\tau + \right. \\ &\left. + \frac{1}{\rho_{\max}} \int_{x_1}^1 \frac{v_1(\tau, 0)}{\sqrt{\tau^2 - k_1^2}} d\tau \right] + R \left[\frac{G_1}{\rho_{\min}} + \frac{G_2}{\rho_{\max}} \right] - \frac{1}{2} [P^1(0, \delta) - P^1(0, -\delta)] \quad (2.19) \end{aligned}$$

В этих формулах

$$\begin{aligned} C_1(w) &= -\frac{\partial P^1}{\partial x} \Big|_{z=z(w)} = \left(\int_{\Sigma_0} \mu^1 \frac{\cos \varphi}{r} dt \right)_{z=z(w)} \\ S_1(w) &= -\frac{\partial P^1}{\partial y} \Big|_{z=z(w)} = \left(\int_{\Sigma_0} \mu^1 \frac{\sin \varphi}{r} dt \right)_{z=z(w)} \\ G_1 &= \int_0^{x_1} S(x, \delta) dx + \frac{V}{c} \int_0^{x_1} B(x) dx, \quad G_2 = \int_{x_1}^\lambda S(x, \delta) dx + \frac{V}{c} \int_{x_1}^\lambda B(x) dx \end{aligned} \quad (2.20)$$

Решение поставленной задачи получается при помощи формулы Келдыша — Седова [6]; будем иметь

$$\begin{aligned} \Phi_1^1(w) &= \frac{1}{\pi i g(w)} \left\{ -i \int_{-\infty}^{-1} \left(\frac{|\theta|+1}{|\theta|-1} \right)^{1/2} \frac{S_1(\theta) d\theta}{\theta-w} - i \int_{-1}^1 \left(\frac{1-\theta}{1+\theta} \right)^{1/2} \frac{C_1(\theta) d\theta}{\theta-w} - \right. \\ &\quad \left. - i \int_1^\infty \left(\frac{\theta-1}{\theta+1} \right)^{1/2} \frac{S_1(\theta) d\theta}{\theta-w} \right\} + \frac{\gamma}{\sqrt{(w-1)(w+1)}}, \quad g(w) = \left(\frac{w-1}{w+1} \right)^{1/2} \end{aligned} \quad (2.21)$$

В этой формуле взята та ветвь корня, которая положительна на части $\tau > 1$ вещественной оси. Постоянная γ определяется из последнего условия (2.19). Полагая в (2.21) $w = \tau$, $|\tau| < 1$, найдем

$$v_i(\tau, 0) = \frac{1}{\pi} \left(\frac{1+\tau}{1-\tau} \right)^{1/2} \left\{ \int_{-\infty}^{-1} \left(\frac{|\theta|+1}{|\theta|-1} \right)^{1/2} \frac{S_1(\theta) d\theta}{\theta-\tau} + \int_1^\infty \left(\frac{\theta-1}{\theta+1} \right)^{1/2} \frac{S_1(\theta) d\theta}{\theta-\tau} \right\} - \frac{\gamma}{\sqrt{1-\tau^2}}$$

Подставляя это выражение в (2.19), определим γ (опускаем простые, но утомительные выкладки)

$$\begin{aligned} \gamma &= \frac{\pi}{2\delta K(k_1)} \left[1 + \frac{R}{\rho_{\min}} \alpha^* - R \left(\frac{1}{\rho_{\min}} - \frac{1}{\rho_{\max}} \right) \alpha^{**} \right]^{-1} \times \\ &\quad \times \left(R \left[\frac{G_1}{\rho_{\min}} + \frac{G_2}{\rho_{\max}} \right] - \frac{1}{2} [P^1(0, \delta) - P^1(0, -\delta)] + \frac{4\delta}{\pi^2} \int_1^\infty \frac{\theta}{\sqrt{\theta^2-1}} \times \right. \\ &\quad \times S_1(\theta) d\theta \left\{ \frac{\theta^2-1}{\theta^2} \Pi \left(\frac{\pi}{2}, -\frac{k_1^2}{\theta^2}, k_1 \right) + \frac{R}{\rho_{\min}} \Pi \left(\frac{\pi}{2}, \frac{k_1'^2}{\theta^2-1}, k_1' \right) - \right. \\ &\quad - R \left(\frac{1}{\rho_{\min}} - \frac{1}{\rho_{\max}} \right) \Pi \left(\arcsin \frac{\sqrt{1-\tau_1^2}}{k_1'}, \frac{k_1'^2}{\theta^2-1}, k_1' \right) - \\ &\quad \left. \left. - K(k_1) \left[1 + \frac{R}{\rho_{\min}} \alpha^* - R \left(\frac{1}{\rho_{\min}} - \frac{1}{\rho_{\max}} \right) \alpha^{**} \right] \right\} \right) \end{aligned} \quad (2.22)$$

В этой формуле

$$\begin{aligned} F(\varphi, k) &= \int_0^\varphi \frac{d\beta}{\sqrt{1-k^2 \sin^2 \beta}}, \quad K(k) = F\left(\frac{\pi}{2}, k\right) \\ \Pi(\varphi, h, k) &= \int_0^\varphi \frac{d\beta}{(1+h \sin^2 \beta) \sqrt{1-k^2 \sin^2 \beta}}, \quad k_1^2 + k_1'^2 = 1 \\ \alpha^* &= \frac{K(k_1')}{K(k_1)}, \quad \alpha^{**} = \frac{1}{K(k_1)} F\left(\arcsin \frac{\sqrt{1-\tau_1^2}}{k_1'}, k_1'\right) \end{aligned}$$

Формулы (2.21) и (2.22) дают возможность определить функцию $F^1(x, y)$. Подставляя соответствующее выражение в правую часть первого уравнения (2.9), придем к интегральному уравнению для плотности μ^1 .

Ток во внешней цепи (функционал I) оказывается равным

$$I = \frac{z_+^1 - z_-^1}{R} = - \frac{4\delta}{\pi R} \int_0^{k_1} \frac{v_1(\tau, 0)}{\sqrt{k_1^2 - \tau^2}} d\tau + \frac{1}{R} [P^1(0, \delta) - P^1(0, -\delta)]$$

Выполнив вычисления, найдем

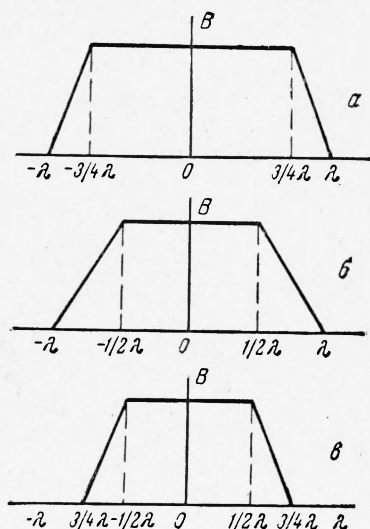
$$\begin{aligned} I = & \frac{1}{\rho_{\min}} \left[1 + \frac{R}{\rho_{\min}} \alpha^* - R \left(\frac{1}{\rho_{\min}} - \frac{1}{\rho_{\max}} \right) \alpha^{**} \right]^{-1} \left\{ 2 \left[G_1 + G_2 \frac{\rho_{\min}}{\rho_{\max}} \right] + \right. \\ & + [P^1(0, \delta) - P^1(0, -\delta)] \left[\alpha^* - \left(1 - \frac{\rho_{\min}}{\rho_{\max}} \right) \alpha^{**} \right] + \\ & \left. + \frac{4\delta}{\pi} \int_1^\infty \Sigma^* \left(\frac{x}{\lambda} \right) S(x, \delta) d\left(\frac{x}{\lambda} \right) \right\} \end{aligned} \quad (2.23)$$

Здесь

$$\Sigma^* \left(\frac{x}{\lambda} \right) = \Sigma \left(\frac{x}{\lambda} \right) + \Delta \Sigma \left(\frac{x}{\lambda} \right)$$

$$\begin{aligned} \Sigma \left(\frac{x}{\lambda} \right) = & \frac{\lambda}{\delta} \theta \left(\frac{\theta^2 - k_1^2}{\theta^2 - 1} \right)^{1/2} \left[\Pi \left(\frac{\pi}{2}, \frac{k_1'^2}{\theta^2 - 1}, k_1' \right) - \alpha^* \frac{\theta^2 - 1}{\theta^2} \Pi \left(\frac{\pi}{2}, -\frac{k_1^2}{\theta^2}, k_1 \right) \right. \\ \Delta \Sigma \left(\frac{x}{\lambda} \right) = & \frac{\lambda}{\delta} \theta \left(\frac{\theta^2 - k_1^2}{\theta^2 - 1} \right)^{1/2} \left(1 - \frac{\rho_{\min}}{\rho_{\max}} \right) \left[\alpha^{**} \frac{\theta^2 - 1}{\theta^2} \Pi \left(\frac{\pi}{2}, -\frac{k_1^2}{\theta^2}, k_1 \right) - \right. \\ & \left. - \Pi \left(\arcsin \frac{\sqrt{1 - \tau_1^2}}{k_1'}, \frac{k_1'^2}{\theta^2 - 1}, k_1' \right) \right], \quad \theta = k_1 \operatorname{ch} \frac{\pi x}{2\delta}. \end{aligned} \quad (2.24)$$

3. Рассмотрим подробнее случай малых значений параметра p . При $p = 0$ проводимость жидкости постоянна и кривые скачка отсутствуют.



Фиг. 4

вых Г, условия же Вейерштрасса для функции $B(x)$, изображенных на фиг. 4, соответствующие кривые Г построены на фиг. 5.

При малых по сравнению с единицей значениях параметра p кривые разрыва проводимости мало отличаются от кривых Г, условия же Вейерштрасса приводят именно к такому расположению областей с $\rho = \rho_{\min}$ и $\rho = \rho_{\max}$, которое описано выше (стр. 33).

Можно было бы привести ряд соображений, при помощи которых удается охарактеризовать поведение кривой Σ_0 при достаточно малых значениях p .

Детальное построение кривой Σ_0 связано, однако, с громоздкими вычислениями и поэтому проведено не будет.

Основной интерес для рассматриваемой задачи представляет изменение величины функционала I , связанное с оптимизацией распределения проводимости, по сравнению с величиной этого функционала при постоянной проводимости (величину постоянной проводимости примем равной $1/\rho_{\min}$).

Можно считать, что изменение величины функционала складывается:

(1) из приращения, обусловленного уменьшением проводимости до $1/\rho_{\max}$ в областях $C'S'P'C'$ и $CPQSC$ (фиг. 1),

(2) приращения, вызванного последующим переходом от предельной кривой скачка Γ к кривой скачка Σ_0 .

Это последнее приращение оказывается по параметру p величиной порядка более высокого, чем первый.

Доказательство следует непосредственно, если написать выражение для величины функционала I с помощью функций Грина для соответствующих областей и перейти к приращению (1), а впоследствии к приращению (2). Можно видеть, что последнее образуется из слагаемых, в которых величины порядка p умножаются на количества, порядок малости которых совпадает с порядком малости вариаций функций Грина при переходе от границы Γ к границе Σ_0 .

Считая эти вариации исчезающими вместе с параметром p , придем к сделанному выше утверждению.

В силу сказанного, приращение полного тока I с точностью до величин порядка p можно вычислить, предполагая, что кривые скачка проводимости совпадают с Γ .

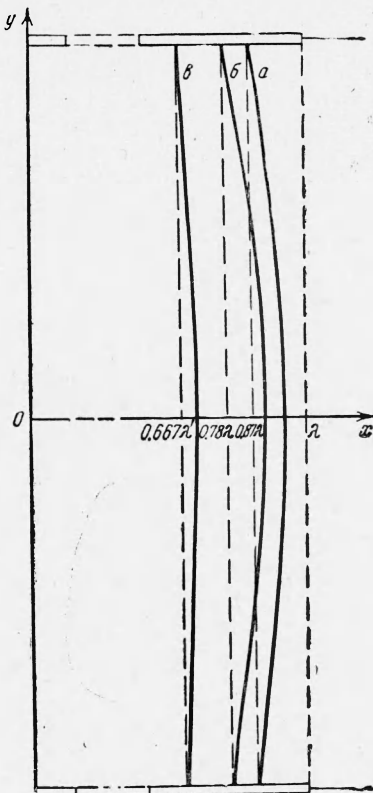
Для этой цели нужно воспользоваться формулой (2.23), удерживая в правой части члены порядка p .

Предварительно следует вычислить плотность μ^1 в этом же приближении; из первого уравнения (2.9) находим значение плотности

$$\mu^1 = \frac{p}{\pi} \frac{\partial z^1}{\partial n_0} \Big|_0 + \frac{p}{\pi} \frac{VB}{c} x_{t_0} \Big|_0 = - \frac{p}{\pi} \rho_{\min} j_{n_0} \Big|_0 \quad (3.1)$$

Величины в правой части этой формулы вычисляются на кривой Γ . Через n_0 и t_0 обозначены соответственно нормальное и касательное к Γ направления (см. сноску на стр. 32); значок $|_0$ означает, что соответствующая величина вычисляется при $p = 0$.

Подставляя выражение (3.1) для плотности μ^1 в формулу (2.23) для определения приращения полного тока в оптимальном режиме по сравнению с его величиной при $\rho = \rho_{\min} = \text{const}$, после соответствующих пре-



Фиг. 5

образований получим следующее выражение:

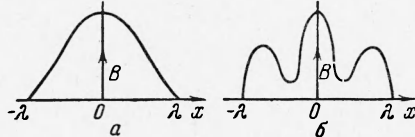
$$\Delta I = R\alpha^{**}I_{\lambda c} \left(\frac{1}{\rho_{\min}} - \frac{1}{\rho_{\max}} \right) \left(1 + \frac{R\alpha^*}{\rho_{\min}} \right)^{-1} + \frac{2}{\rho_{\min}} \left(1 + \frac{R\alpha^*}{\rho_{\min}} \right)^{-1} \times \\ \times \left\{ [P^1(0, \delta) - P^1(0, -\delta)] \frac{\alpha^*}{2} + \frac{2\delta}{\pi} \int_1^\infty S(x, \delta) \sum \left(\frac{x}{\lambda} \right) d\left(\frac{x}{\lambda} \right) + \right. \\ \left. + \int_0^\lambda S(x, \delta) dx - \left(1 - \frac{\rho_{\min}}{\rho_{\max}} \right) \frac{V}{c} \int_{x_1}^\lambda B(x) dx \right\} \quad (3.2)$$

Здесь через $I_{\lambda c}$ обозначена величина [1]

$$I_{\lambda c} = \frac{1}{\rho_{\min}} \left(1 + \frac{R\alpha^*}{\rho_{\min}} \right)^{-1} \frac{V}{c} \int_{-\lambda}^\lambda B(x) dx \quad (3.3)$$

равная полному току при $\rho = \rho_{\min} = \text{const}$.

Ниже приводятся значения отношения $\Delta I / pI_{\lambda c}$, вычисленные по формулам (3.2) и (3.3) при $\lambda/\delta = 1$, $R/\rho_{\min} = 1$ для трех вариантов задания функции $B(x)$, указанных на фиг. 4.



Фиг. 6

$$\frac{\Delta I}{pI_{\lambda c}} = 0.136 \left(1 + \frac{\rho_{\min}}{\rho_{\max}} \right) + 0.104 \quad (a)$$

$$\frac{\Delta I}{pI_{\lambda c}} = 0.198 \left(1 + \frac{\rho_{\min}}{\rho_{\max}} \right) + 0.078 \quad (b)$$

$$\frac{\Delta I}{pI_{\lambda c}} = 0.271 \left(1 + \frac{\rho_{\min}}{\rho_{\max}} \right) + 0.041 \quad (c)$$

Рассмотрим предельный случай $\rho_{\max} = \infty$ ($\sigma_{\min} = 0$). Параметр p при этом равен единице. В области, где $\rho = \rho_{\max}$, ток не протекает, а в той области, где $\rho = \rho_{\min}$, векторные линии \mathbf{j} и $\text{grad } \omega_2$, согласно условию Вейерштрасса (1.5), должны быть антипараллельны.

Легко проверить, что поставленным условиям удовлетворяет в известных случаях следующее распределение проводимости:

$$\rho = \begin{cases} \rho_{\max} = \infty, & |x| > l \\ \rho_{\min}, & |x| < l \end{cases} \quad (l \leq \lambda) \quad (3.4)$$

Составляющие плотности тока выражаются при этом следующими формулами:

$$\zeta^1 = 0, \quad \zeta^2 = 0 \quad \text{при } |x| > l \quad (3.5)$$

$$\zeta^2 = \frac{V}{c\rho_{\min}} \left[B(x) - \frac{R}{\rho_{\min}} \frac{l}{\delta} \left(1 + \frac{R}{\rho_{\min}} \frac{l}{\delta} \right)^{-1} \frac{1}{2l} \int_{-l}^l B(x) dx \right] \quad \text{при } |x| < l$$

Функционал I равен

$$I_l = \frac{G_l}{\rho_{\min}} \left(1 + \frac{R}{\rho_{\min}} \frac{l}{\delta} \right)^{-1}, \quad G_l = \frac{V}{c} \int_{-l}^l B(x) dx \quad (3.6)$$

Электрическое поле однородно; единственная его y -составляющая равна $-I_l R / 2\delta$. В рассматриваемом случае задача одномерна (зависимость от координаты y отсутствует); нетрудно видеть, что в этих условиях вектор $\text{grad } \omega_2$ имеет лишь одну y -составляющую, которая постоянна и отрицательна. Условие (2.3) накладывает ограничение на абсциссы $\pm l$ вертикальных линий разрыва проводимости.

Именно, оно требует, чтобы линии разрыва были критическими: плотность тока на этих линиях должна обращаться в нуль

$$\zeta^2 (\pm l) = 0 \quad (3.7)$$

Последнее соотношение вместе с (3.5) приводит к уравнению для определения l . Если наименьший корень этого уравнения не превосходит λ , то этот корень и дает искомое значение абсциссы.

Существование такого корня (а значит, и существование оптимального режима (3.4)) определяется, очевидно, профилем внешнего магнитного поля $B(x)$. Формула (3.5), в частности, показывает, что для реализуемости оптимального режима (3.4) необходимо, чтобы функция $B(x)$ достаточно резко убывала к концам интервала $(-\lambda, \lambda)$ (фиг. 6a); в случае, если функция $B(x)$ не монотонна, оптимальное распределение проводимости может иметь вид зон максимальной проводимости, распространенных на отрезки оси x около максимумов $B(x)$ (фиг. 6b) и отделенных одна от другой областями нулевой проводимости.

С целью проверки докажем непосредственно, что в оптимальном режиме (3.4) ток I_l превышает ток $I_{\lambda c}$, снимаемый с электродов при повсюду одинаковой проводимости, равной $1/\rho_{\min}$ (ток $I_{\lambda c}$ определяется формулой (3.3)). Если магнитное поле задано функцией типа фиг. 6a, то имеет место неравенство

$$I_l \geq I_{\lambda} = \frac{G_{\lambda}}{\rho_{\min}} \left(1 + \frac{R}{\rho_{\min}} \frac{\lambda}{\delta} \right)^{-1}$$

его справедливость обусловлена тем фактом, что на отрезках (l, λ) , $(-\lambda, -l)$ токи текут в обратном направлении (см. (3.5) и (3.7)).

Неравенство]

$$\frac{\alpha^* \delta}{\lambda} = \frac{\pi K (\sqrt{1 - k_1^2})}{2 \operatorname{arsh} (k_1^{-1}) K (k_1)} > 1$$

справедливо при $0 < k_1 < 1$, убеждает в том, что

$$I_{\lambda} > I_{\lambda c}$$

и, следовательно

$$I_l > I_{\lambda c}$$

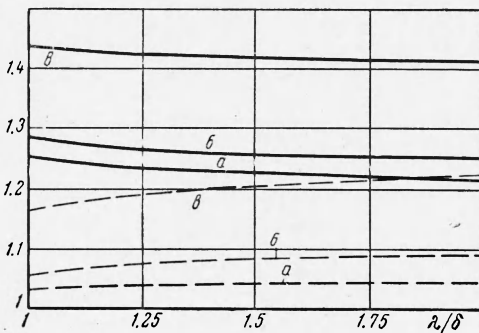
На фиг. 7 представлены зависимости отношений $I_l / I_{\lambda c}$ (сплошные кривые), I_l / I_{λ} (штриховые кривые) от параметра λ / δ при $R / \rho_{\min} = 1$.

Автор глубоко благодарен Г. А. Гринбергу за многочисленные полезные дискуссии, а также Т. Ю. Андриевской и Н. В. Королевой за выполнение трудоемких численных расчетов.

Поступила 30 XII 1963

ЛИТЕРАТУРА

- Ватажин А. Б. Магнитогидродинамическое течение в плоском канале с конечными электродами. Изв. АН СССР, ОТН, Механика и машиностроение, 1962, № 1.
- Лурье К. А. Оптимальное управление проводимостью жидкости, движущейся по каналу в магнитном поле. ПММ, 1964, т. 28, вып. 2.
- Ватажин А. Б. К решению некоторых краевых задач магнитогидродинамики. ПММ, 1961, т. 25, вып. 5.
- Лурье К. А. Задача Майера—Больца для кратных интегралов и оптимизация поведения систем с распределенными параметрами. ПММ, 1963, т. 27, вып. 5.
- Смирнов В. И. Курс высшей математики, т. IV. Гостехиздат, 1957.
- Лаврентьев М. А., Шабат Б. В. Методы теории функций комплексного переменного. Физматгиз, 1958.



Фиг. 7